

同硬度的良恶性宫颈病变呈现以不同颜色的弹性图像,恶性病变常呈稳定深蓝色渲染,弥补了彩色多普勒超声的不足。同时,SWE可量化不同类型病灶组织的弹性差异,对早期发现宫颈癌具有十分重要的辅助作用。刘春等^[4]研究表明,恶性肿瘤组弹性模量最大值、平均值均大于良性宫颈肿瘤组和正常对照组(均P<0.05);本研究结果与之一致。

本研究还探讨了弹性模量对宫颈癌的诊断效能,结果显示弹性模量最大值和平均值诊断宫颈癌的截断值分别为48.08 kPa、36.89 kPa,曲线下面积分别为0.908、0.996,由此可见二者对宫颈癌诊断效能均良好,且以弹性模量平均值更佳(P<0.05)。与以往研究^[4-6]结果一致,弹性模量值未来可能成为超声诊断宫颈癌的重要观察指标。

综上所述,SWE技术对宫颈疾病具有较高的诊断

效能,有利于超声医师鉴别诊断宫颈良、恶性病变。

参考文献

- [1] 郭琴,赵丽平.宫颈癌和癌前病变中弹性组氨酸三联体缺失表达特点[J].山西医药杂志,2016,45(17):2003-2004.
- [2] Zhang Y, Guo L, Xing P, et al. Increased expression of oncogene-induced senescence markers during cervical squamous cell cancer development[J]. Int J Clin Exp Pathol, 2014, 7(12):8911-8916.
- [3] 马亚琪,刘爱军.宫颈癌及癌前病变病理诊断及研究进展[J].实用妇产科杂志,2015,31(11):803-805.
- [4] 刘春,卢漫,李婷婷,等.经阴道实时剪切波弹性成像对宫颈疾病的诊断价值[J].中国超声医学杂志,2019,35(1):46-48.
- [5] 赵亮,刘宏,乌丽娅提·赛都拉.实时剪切波弹性成像与彩色多普勒超声在宫颈癌鉴别诊断中的应用价值[J].中国肿瘤临床与康复,2018,25(1):36-39.
- [6] 李小花,李井平,徐华,等.经阴道超高速剪切波弹性成像对宫颈癌及癌前病变的诊断价值[J].中国全科医学,2017,20(18):2285-2288.

(收稿日期:2019-06-25)

· 病例报道 ·

High frequency ultrasound in the diagnosis of hip oil cyst:a case report 高频超声诊断臀部积油囊肿1例

张华明

[中图法分类号]R445.1

[文献标识码]B

患者女,38岁,因臀部包块不适2周就诊,2年前曾有双侧臀部黄体酮针剂注射史。超声检查:双侧臀部脂肪层内见多发的大小不等的圆形无回声结节,回声均匀,其中较大者约4.7 mm×4.8 mm,前缘距体表约5.0 mm,边界清晰,壁薄光整,后方回声无增强(图1);CDFI示其内及周边未探及明显血流信号。超声提示:典型的积油囊肿。后经穿刺抽出黏稠油性液体证实。

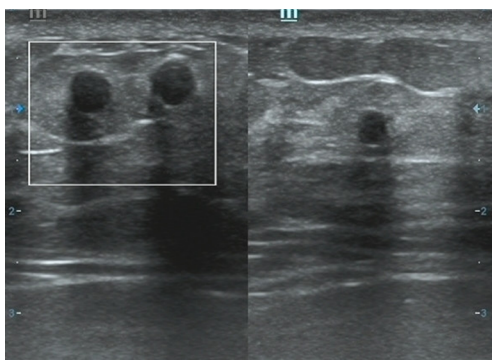


图1 臀部脂肪层多发圆形无回声结节,边清壁薄,后方回声无增强,CDFI未探及血流信号

讨论:积油囊肿为一种少见的良性病变,一般指局部脂肪液化坏死,脂肪碎片从破裂的脂肪细胞内游离并析出,聚集成较大的油脂池,或注入体内的油脂性物质聚集,周围被肉芽组

织包裹,肉芽组织主要由富含脂肪的巨噬细胞(泡沫细胞)、白细胞(主要是中性粒细胞)、纤维蛋白、成纤维细胞及成血管细胞组成,这种含脂肪的肉芽组织即为积油囊肿^[1]。其囊壁亦可形成环状或蛋壳样钙化。本病常继发于创伤或手术后,少数为特发性的,无创伤或手术史,局部的药物注射也是其发病因素之一。既往研究^[1-2]报道本病多发生于乳腺脂肪层内,其他部位的积油囊肿鲜有报道。本例有双侧臀部黄体酮针剂注射史,积油囊肿的分布与注射部位一致,考虑为黄体酮注射后的继发改变。位于臀部的积油囊肿有典型的超声表现:臀部脂肪层增厚,其内可见多发无回声结节,部分可呈低弱回声,回声均匀,大多呈圆形,边清壁薄,后方回声无增强,囊壁钙化时,后方可有声影,较大积油囊肿可呈不规则形,CDFI示其内及周边均未探及血流信号。本例超声表现典型。本病临床需注意与含液性的其他囊肿、脂肪瘤等相鉴别。

参考文献

- [1] Sattibabu V, Dalal S, Nara N, et al. Oil cyst of breast: a rare mammographic finding[J]. Int Surg J, 2017(4):1110-1111.
- [2] Ho Quoc C, Delay E. How to treat fat necrosis after lipofilling into the breast? [J]. Ann Chir Plast Esthet, 2015, 60(3):179-183.

(收稿日期:2019-05-29)